

DOI: <https://doi.org/10.63359/2gaxpf06>

## تقدير الخصائص الفيزيوكيميائية لمياه الشرب الجوفية بولاية وادي فيرا جمهورية تشاد

عبدالله جباره<sup>1\*</sup>، جلال فضل محمد<sup>1</sup>، مدينة كومي<sup>2</sup>، محمد بحر الدين حسين<sup>3</sup>، صلاح الدين حميدة<sup>4</sup>، عوض سالم<sup>5</sup>، عائشة وادي<sup>6</sup>

### ARTICLE INFO

Vol. 7 No. 3 Dec., 2025

Pages (A 1-9)

#### Article history:

Revised form 13 September 2025  
Accepted 29 September 2025

#### Authors affiliation

<sup>1</sup>Department of chemistry, higher Institute for teaching training, Abshire T-chad

<sup>1,2</sup>Department of Chemistry, Faculty of Education, University of Dalaanj, Dalaanj, 53312 Sudan

<sup>4,5</sup>Department of Chemistry, Faculty of Education, West Kordofan University, El-Nuhud, 55511, Sudan

<sup>3,6</sup>Department of Chemistry, Faculty of Science, University of Kordofan, Elobeid, Sudan

Wadgobara35@gmail.com

#### Keywords:

Physicochemical Properties, Groundwater, Wadi fira, Atomic Absorption, Chad

### الملخص

المياه الجوفية هي المصدر الرئيس للشرب في ولاية وادي فيرا، جمهورية، تشاد. أختبرت هذه الولاية كمنطقة دراسة بسبب عدم وجود أدلة مختصة في الماضي. هدفت الدراسة إلى تقدير الخصائص الفيزيوكيميائية لمياه الشرب من الآبار الجوفية بولاية وادي فيرا ومقارنتها بمعايير منظمة الصحة العالمية والتشاد. جمعت عينات المياه في نوفمبر 2024 لعدد (35) بيراً من مناطق محددة باستخدام GPS، محدثت موقع إحداثيات الآبار على خارطة التوزيع المكانى لها داخل المدينة وتبينها في زجاجة البولى إيشيلين وتم تجربت بعثانية. حللت العينات باستخدام مطياف الامتصاص الذري (AAS)، مقياس الأسس الميدروجيني، مقياس الموصولة الكهربائية، جهاز قياس العكورة، طرق المعايرة و جهاز مطياف اللهب. تم قياس البراميرت التالية مثل: الرقم الميدروجيني، الموصولة الكهربائية (E.C)، الأملاح الكلية الذائية (TDS)، والعكارة (NTU)، طرق المعايرة وجهاز مطياف الكتلة تم التحليل في العمل القومى للمياه بمدينة إنجمينا. وبعض الكاتيونات مثل:  $(Fe^{2+}, Ca^{2+}, K^{+}, Mg^{2+}, Na^{+})$  الأنيونات مثل (NO<sub>3</sub><sup>-2</sup>, SO<sub>4</sub><sup>2-</sup>, Cl<sup>-</sup>, F<sup>-</sup>) . أظهرت النتائج أن تركيز ايون الميدروجين في الماء يتراوح بين (6.65-8.20)، الموصولة الكهربائية (EC)، في المدى (111.8-1977) ملغم ثانية/سم، ماعدا العينات (S10-S23) اظهرت (4440.0-4650) على التوالي، هذا التراكيز أعلى من المسموح به لمنظمة الصحة العالمية والمعايير الخالية، العكارة (S6,S7,S21) اظهرت تراكيز NTU (0.0-35) على التوالي، ما عدا العينات (117.0,50.2,12.8) بالترتيب، هذه القيم ضمن ارشادات منظمة الصحة العالمية ولكنها أعلى من المصدق به للمعايير الخالية لدولة تشاد ( $\leq$ )، الاملاح الكلية الصلبة (56.6-924.8) ملغم/لتر ماعدا تراكيز العينات (S19,S26) أظهرت تراكيز (2227.6-2334.6) هنا ( $\leq$ )، الاملاح الكلية الصلبة (56.6-924.8) ملغم/لتر ماعدا تراكيز العينات (S16, S26) اظهرت تراكيز (1.4-44.0) ملغم/لتر، ماعدا العينات (24.3,64.0) على التوالي، هذه القيم أعلى من منظمة الصحة العالمية والمعايير الخالية، اما ضمن الحد الموصى به ماعدا العينات (S10 S18,S19,S26 and S32) اظهرت تراكيز (32.0-200) (240,216,376,0,394.0 and 280.0) على التوالي، هي أعلى من الحد المسموح به للمعايير التشادية (200) ( $\leq$ ) . Fe<sup>+2</sup> (0.0-02) ملغم/لتر، هي ضمن المدى المسموح به. -0.0-1.2) NH<sub>4</sub><sup>+</sup> ملغم/لتر، ماعدا العينات (S6, S21) اظهرت تراكيز (3.5,2.6) على التوالي، أعلى من المدى المسموح به للمعايير الخالية ( $\leq$ )، F<sup>-</sup> (0.0-1.4) ملغم / لتر، Cl<sup>-</sup> (3.0-1800) ملغم / لتر، نتائج الكلوريد والفلوريد تقع ضمن الحد الموصى به. NO<sub>3</sub><sup>-</sup> (0.0-0.344) ملغم / لتر، ماعدا العينة S19 اظهرت تراكيز 53.4 هو أعلى من الحد المسموح به. SO<sub>4</sub><sup>-2</sup> (116.0 - 1.0) ملغم / لتر، تقع ضمن الحد المسموح به. معظم العينات تحتوى على درجة حموضة وقيم الكلية للأملاح الذائية ضمن نطاق إرشادات جودة مياه الشرب الصادرة عن منظمة الصحة العالمية والمعايير الخالية التشادية، باستثناء بعض العينات التي احتوت (موصولة كهربائية، املاح ذاتية كلية، ايون البوتاسيوم، الأمونيا والنيترات) أعلى من الحد المسموح به، من خلال المقارنة تخلص إلى أن غالبية المصادر صالحة للاستخدام والبعض منها يحتاج إلى معالجة. توصي الدراسة المسؤولين بإلزام المنظمات والم هيئات بإجراء دراسة شاملة لعينات المياه قبل حفر الآبار.

### Evaluation of Physicochemical Properties in Drinking Ground Water in Wadi Fira State, Republic of Chad

Abdalla Gobara<sup>1\*</sup>, Djalal Fadoul<sup>1</sup>, Madena Komi<sup>3</sup>, Mohammed Bahreldin<sup>4</sup>, Slaheldeen Homida<sup>5</sup>, Awad Salim<sup>6</sup>, Asha wady<sup>7</sup>

Ground water are main sources of drinking in Wadi Fira, Chad, this state was chosen as study area due to the lack of research evidences in the past. The study aimed to evaluate some physicochemical properties of ground water comparing with world health organization and local standards in Chad. Water samples were collected from (35 wells) in different locations of the city by using GPS to locate the coordinates of wells in November 2024, and packaged in polyethylene bottles and carefully stored. The samples were analysed using an Atomic Absorption Spectrometer (AAS), pH Meter, Conductivity meter (E.C), Turbidity

© 2025

Content on this article is an open access  
licensed under creative commons CC  
BY-NC 4.0.



meter, EDTA titrimetric methods, flame photometric, the analyses were carried out in national water laboratory, Ndjamen. the following parameters such as: pH meter, Electrical Conductivity (E.C), Turbidity, Total Hardness (T.H), Total Dissolved Salt (T.D.S), and total alkalinity (TA), cations, (  $\text{Na}^+$ ,  $\text{Mg}^{2+}$ ,  $\text{K}^+$ ,  $\text{Ca}^{2+}$ ,  $\text{Fe}^{2+}$  ) and some anions such as: (  $\text{F}^-$ ,  $\text{Cl}^-$ ,  $\text{SO}_4^{2-}$ ,  $\text{NO}_3^-$  ). The results showed that, pH were in the range (6.65-8.20), Electrical Conductivity (E.C), (111.8-1977)  $\mu\text{s}/\text{cm}$ , except, sample (S10-S23) were found in the range (4440.0-4650) respectively, these values were higher than guidelines of WHO and OMS, turbidity ranges between (0.0-35) NTU except, samples (S6,S7,S21) were found in the range (117.0,50.2,12.8) respectively, within permissible values WHO, but higher than approved level OMS ( $\leq 5$ ),Total Dissolved Salt (T.D.S) range between (56.6-924.8) mg/L except samples (S19,S26) showed (2227.6-2334.6) respectively, which their recorded values were higher than permitted standard,  $\text{Na}^+$  (1.4-44.0) mg/L,  $\text{K}^+$ , (1.5-8.9) mg/L except, samples (S16, S26) were found (24.3,64.0) higher than the acceptable limit to OMS and WHO,  $\text{Mg}^{2+}$  (4.9-38.9) mg/L Concentrations of Magnesium all the samples were within allowed range,  $\text{Ca}^{2+}$  (32.0-200) mg/L Concentrations of Calcium were within approved range with the exception (S10,S18,S19,S26 and S32) were found (240,216,376,0,394.0 and 280.0) consecutively, were higher than suggested range in OMS ( $\leq 200$  ),  $\text{Fe}^{2+}$  (0.0-02) mg/L,  $\text{NH}_4^+$  (0.0-1.2) mg/L, except samples (S6,S21) were found (3.5,2.6) were higher than suggested range in OMS ( $\leq 1.5$ ),  $\text{F}^-$ (0.0-1.4) mg/L,  $\text{Cl}^-$  (3.0-1800) mg/L all samples was within allowed range,  $\text{NO}_3^-$  (0.0-0.344) mg/L except S19 was found 53.4 was higher than permissible value,  $\text{SO}_4^{2-}$  (1.0-160.0) mg/L, most samples had pH and total solubility values of salt within permissible limits according to drinking water quality guidelines of WHO and OMS, with exception some samples content (Electrical conductivity, Total dissolve solid, potassium ion concentration, ammonium concentration and nitrate) were higher in than the allowed limit of Chad Standards and World Health Organization. From the comparison we conclude that most of the sources are with safe for drinking, some need treatments. Further studies should be conducted to determine the concentrations of heavy metals contamination in the study areas. The study recommends that, officials should obligate the organizations and corodies conduced comprehensive investigation before digging wells.

## المقدمة

بالإضافة إلى الأنشطة البشرية التي قد تجعلها غير صالح للاستخدام الآدمي (العديلي وأخرون, 2020). وخاصة أن سكان مناطق الجبال يعانون من شح المياه الجوفية بسبب جفافها وعمقها، حيث يصل عمق هذه الآبار في حدود (10-40متر). المياه الجوفية المستخدمة في الشرب تلاحظ تغير لون الأسنان وتضخم بقع حمراء، قد تكون نتيجة لوجود مواد كيميائية وأيضاً تؤثر في الصحة وخاصة الكلوي وتسبب إلتهابات المعدة والإعماق والسرطان والتيفوئيد والمalaria الحادة. لم تكن معروفة من ذي قيل إنما ناتجة من زيادة العناصر الكيميائية المسموحة، إلا بعد ظهور بحوث بعض المنظمات العاملة في مجال المياه والابحاث والتقارير المحدودة التي توفرت عند حفر الآبار بالمضخات، وتوفير الخزانات لحفظ المياه السطحية في شتى أنحاء الولاية. وبناء على ما سبق أجريت هذه الدراسة بهدف تقدير بعض الخصائص الفيزيوكيميائية لعدد 35 بئراً جوفية لتحديد مدى ملائمتها للشرب في ولاية وادي فيرا-جمهورية تشاد ومقارنتها بمعايير منظمة الصحة العالمية والمعايير المحلية التشادية.

قال تعالى: (وَجَعَلْنَا مِنَ الْمَاءِ كُلَّ شَيْءٍ حَسِيْءاً أَفَلَا يُؤْمِنُونَ) . (سورة الانبياء الآية 30). المياه شريان الحياة وبدونها لا نستطيع العيش كما أنها عنصر مهم لحياة الحيوان والنبات، وتعرض المياه في وقتنا الحاضر لعدد من الأخطار كالالتلوث والإستنفاف والتلملق مما يحتم على الشعوب ضرورة الإهتمام بما وترشيد إستهلاكها والعمل على تنميتها والحفاظ على مصادرها ومواردها.

الماء هو مركب كيميائي مكون من ذرتي هيدروجين وذرة من الأكسجين ينتشر على الأرض بأشكاله المختلفة، السائل والصلب والغاز، والشكل السائل منه يكون شفافاً بلا لون، ولا طعم ولا رائحة، كما أن 74% من سطح الأرض مغطى بالماء، يعتبر العلماء الماء أساس الحياة على أي كوكب، (الكاياد، 2013). مركب كيميائي له الصيغة  $\text{H}_2\text{O}$ ، الماء هو السائل الأكثر وفرة لديه بعض الخصائص غير العادلة التي تميزه عن بقية السوائل، على سبيل المثال له كثافة أعلى من الجليد ونقطة زوبانه وغليانه مرتفعة بالمقارنة هيدرودنات الجملة 6B الأخرى هذه الخصائص يمكن فهمها بسهولة من حيث السالبية الكهربائية لذرة الأوكسجين، جزئي الماء له بنية زاوية وكذلك مستقطب بسبب السالبية العالية لذرة الأوكسجين (Liptrot, 1983). يشير توزيع المياه في العالم إلى أن 97.5% فقط يشكلان مياه عذبة و مالحة على التوالي. 2.5% من المياه العذبة والمياه السطحية والجوفية في العالم لها تثبيبات 0.4% على التوالي (Gleick, et al, 1996).

المياه الجوفية هي المصدر الرئيس للشرب في مدينة بلن حاضرةإقليم وادي فيرا - تشاد. كذلك تعد من أكثر الموارد الطبيعية المستخدمة للأنشطة البشرية كالاستخدامات المنزلية والصناعية والبناء والري (انتصار, 2007). تحد المنطقة من إقليم بركو وإقليم إنيدى شرقية، وإنيدى الشمالية، والسودان من الشرق، وولاية ودای من الجنوب، وإقليم البطحة من الغرب. تتميز التضاريس بالسفافن، التي تدمر في الصحراء الكبرى في الشمال وتترفع إلى الشرق. ومن المشكلات المرتبطة ب المياه الشرب تلوث المياه الجوفية والسطحية بالملوثات الكيميائية والبيولوجية، لمنطقة بلن التي تحيطها الجبال وأراضيها مسطحة، وأجزاء منها وديان معروفة تجري في موسم الخريف فقط



شكل رقم (1): خريطة ولاية وادي فيرا-تشاد

## المواد والطرق

جمع العينات:

الأنيونات و مثل:  $(\text{Fe}^{2+}, \text{Ca}^{2+}, \text{K}^{+}, \text{Mg}^{2+}, \text{Na}^{+})$   $(\text{NO}_3^{-2}, \text{SO}_4^{2-}, \text{Cl}^{-}, \text{F}^{-})$ . تم تحليل جميع عينات المياه الجوفية لتحديد تركيز الحديد، وتم تحليل العينات بإستخدام جهاز مطياف الامتصاص النوري. وكما هو موضح في الجدول (1). حيث تم قياس البارامترات بإستخدام الأجهزة، مقاييس الأُس الهيدروجيني، مقاييس الموصلية الكهربائية، جهاز قياس العکورة، طرق المعايرة و جهاز مطياف اللهب.

جُمِعَت العينات بشكل عشوائي في محاولة لتغطية اغلب منطقة الدراسة لولاية وادي فيرا، ويُستخدَم جهاز (GPS) لتحديد إحداثيات كل بئر بغرض إسقاطها على الخريطة حيث تم تحديد عدد 35 بئر جوفية، من جميع الإتجاهات في ولاية وادي فيرا.

تحضير العينات:

تم جمع تكرارات من كل عينة في اوعية من البلاستيك سعة 350 مل، وبشكل روتوبي أثبتت الطريقة التقليدية في أحد العينات من المصدر حيث يتم ملء العينة وطرد الماء بداخل العينة واحكام إغلاقها بعد غسل الوعاء ثلاثة مرات من نفس المصدر وتم جمع العينات بمعدل 5-7 عينة يوميا حتى يتم تغطية 35 موقع في الفترة، والتتأكد بشكل مستمر على كتابة المعلومات والبيانات مثل رقم العينة، الموقع، تاريخ اخذ العينة. وبعض البيانات مثل عمق البئر من خلال توجيه السؤال الى صاحب البئر ومن ثم نقلها الى المعمل مباشرة في صندوق حفظ العينات، حيث اجريت القياسات على البارامترات الاتية. تركيز الأُس الهيدروجيني، الموصلية الكهربائية، الاملاح الكلية الذائبة، العکورة. بالإضافة الى عدد من الكاتيونات مثل:

جدول رقم (1): يوضح التوزيع المكاني لموقع 35 بئرا التي تم اختبارها والاحاديث لكل منها داخل المدينة:

كود العينة	مكان العينة	تاريخ أخذ العينة	GPS Coordinates	كود العينة	مكان العينة	تاريخ أخذ العينة	GPS Coordinates	
S1	متاجنا Matadjana	2024/11/29	Lon: 21.343929052 La: 15.10109056	S19	كوربى Kourbi	2024/12/01	Lon: 21.01767 La: 14.34241	
S2	أرادة Arada	2024/11/29	Lon: 20,393289428 La: 15,18560556	S20	موقع Moungoum	2024/11/01	Lon: 20,99705 La: 14,36364	
S3	كوشن Kouchan	2024/11/30	Lon: 20,85753 La: 14,64835	S21	أوفن Oufoun	2024/11/01	Lon: 20,96192 La: 14,43707	
S4	سلام عليك Salam A leik	2024/11/30	Lon: 20,93998 La: 14,75584	S22	لتقر 1 Langar 1	2024/12/02	Lon: 20,87249 La: 14,5682	
S5	أب جرتى Abdjarti	2024/11/30	Lon: 20,9599 La: 14,72993	S23	لتقر 2 Langar 2	2024/12/02	Lon: 20,89375 La: 14,55177	
S6	ورقص أب نبك wirguis Abrat	2024/11/30	Lon: 20,95768 La: 14,64737	S24	كوشن غرب Kouchan Kharb	2024/11/30	Lon: 20,85184 La: 14,64469	
S7	دالون Dolan	2024/11/30	Lon: 20,94231 La: 14,56594	S25	بوبوك Bobok	2024/12/02	Lon: 20,92744 La: 14,5246	
S8	اريبيا iriba	2024/11/29	Lon: 22,152158812 La: 15,73617364	S26	قمرا جاسيو Gamara	2024/12/02	Lon: 20,89969 La: 14,41816	
S9	قربيضة Guereda	2024/11/29	Lonj: 22,5296916 La: 14,30246078	S27	بنر احمد Bir Ahmat	2024/12/02	Lon: 20,91553 La: 1451477	
S10	بنتر Bantar	2024/11/03	Lon: 21,24183 La: 14,60981	S28	صبو 2 Sobou 2	2024/11/29	Lon: 20,90783 La: 14,54561	
S11	كسارا Kassara	2024/11/30	Lon: 21,23212 La: 14,55922	S29	صبو 1 Sabou 1	2024/11/29	Lon: 20,90095 La: 14,54636	
S12	تينا Tine	2024/11/05	Lon: 22,810742 La: 15,031356	S30	بنر دبتقا Bir Dabanga	2024/11/29	Lon: 20,91985 La: 14,53697	
S13	تونس Towse	2024/11/30	20,98949 La: 14,51743	S31	بنر ستتر Centre	2024/11/30	Lon: 20,92596 La: 53534	
S14	دكير Diker	2024/11/03	Lon: 21,07593 La: 14,44148	S32	بنر محمد عبد الله Bir Mahamat	2024/11/30	Lon: 20,92828 La: 14,53474	
S15	أم زوير Azouhar	2024/11/30	21,233643118 Lon: La: 13,991812	S33	بنر يعقوب إسحاق Bir yaacob isskha	2024/11/29	Lon: 20,93225 La: 14,52447	
S16	مونكيل Mounkil	2024/11/28	Lon: 2097166 La: 14,26986	S34	بنر على حسين BirAli Hissie	2024/11/29	Lon: 20,92207 La: 14,51137	
S17	دقن Douguin	2024/11/29	Lon: 20,92094 La: 14,33432	S35	بنر حسن علي Alio Bir Hassan	2024/11/03	Lon: 20,93041 La: 14,52483	
S18	غراء Gouray	2024/11/01	Lon: 21,0752 La: 14,36931	(المصدر: عمل الباحث خلال نوفمبر- ديسمبر 2024)				

الـ(الكاتيونات والأنيونات). قياس تركيز ايون الهيدروجين في الماء (pH): يعبر عن تركيز درجة الحموضة بالإضافة الى معلومات عن هامة عن التوازن الجموكيميائي، تراوحت قيم الـ(pH) لعينات المنطقة المدروسة للولاية بين 6.65 الى 8.20. كما في الجدول (2). وهذا يعكس ميل المياه الجوفية باتجاه الحموضة ولكنها ضمن الحدود المسموح بها ل المياه الشرب الجوفية حسب

الـ(الخصائص الفيزيائية والكميائية لمياه الشرب الجوفية في ولاية وادي فيرا:

يوضح الجدول رقم (2) الخصائص الفيزيائية والكميائية لعينات المياه الجوفية في منطقة الدراسة متمثلة في درجة الحموضة بإستخدام جهاز (pH meter) . والموصلية الكهربائية بواسطة جهاز الموصولة (TDS) وقياس تركيز الاملاح الكلية الذائبة، (TDS)، العكارة. بالإضافة

الموصليات الكهربائية المتوسطة بين (111.8- 1977) عدا عينات الآبار (S10,S23) أظهرت قيم مرتفعة (4440.0,4650.0) لعينات الآبار (S26,S19) على التوالي. وهذا يتناسب مع أعلى قيمة لتركيز الأملاح المنحلة (1120.0,2227.6) لعينات الآبار (S26,S19) على التوالي. هذه النتائج تطابق معيار منظمة الصحة العالمية والمعايير التشادية. تواافق الدراسة التي أجرتها (عبد العزيز وآخرون، 2019).

المواصفات لمنظمة الصحة العالمية للمعايير المحلية التشادية. الأملاح الذائبة الكلية لها علاقة مباشرة بالوصولية الكهربائية، تكون الأملاح الكلية الذائبة بشكل رئيس من الكربونات، البيكربونات والكلوريدات، الفوسفات، نترات الكالسيوم، المغنيسيوم، الصوديوم، البوتاسيوم، المنجنيز، المواد العضوية، الأملاح والجسيمات الأخرى. الموصليات الكهربائية (EC) وكمية الأملاح الكلية الذائبة (TDS): تعكس الموصليات الكهربائية للمياه محتواها من الأملاح المنحلة (TDS) والتي ترتفع للمياه الجوفية بفعل عمليات الغسل وذوبان الأملاح التي تحتويها الصخور والتراب. تراوحت قيم

جدول رقم (2): يوضح الخصائص الفيزيوكيميائية لمياه الشرب الجوفية بولاية وادي فيرا.

Sample code	Parameters				Sample code	Parameters			
	pH 25 °C	EC $\mu\text{S}/\text{cm}$	TDS $\text{mg}/\text{L}$	NTU $\text{mg}/\text{L}$		pH 25 °C	EC $\mu\text{S}/\text{cm}$	TDS $\text{mg}/\text{L}$	NTU $\text{mg}/\text{L}$
S1	7.15	734.0	368.5	0.4	S19	7.20	4440.0	2227.6	0.3
S2	7.20	1293.0	649.7	0.3	S20	8.20	998.0	501.3	0.3
S3	7.40	587.0	294.4	0.3	S21	6.75	214.0	108.6	117.0
S4	7.25	443.0	223.1	0.3	S22	6.86	429.0	215.9	0.6
S5	7.03	356.0	179.9	0.8	S23	6.70	111.8	56.6	2.5
S6	6.70	280.0	141.3	12.8	S24	6.77	569.0	287.5	0.0
S7	6.71	331.0	166.7	50.2	S25	6.88	581.0	293.9	0.2
S8	6.90	1398.0	704.9	1.1	S26	7.33	4650	2334.6	0.4
S9	6.90	212.0	106.9	3.5	S27	7.77	861.0	433.7	0.2
S10	7.05	1977.0	990.8	0.4	S28	7.12	323.0	163.4	0.5
S11	6.85	548.0	267.4	0.2	S29	6.91	761.0	382.7	0.3
S12	6.70	303.0	152.1	0.8	S30	6.90	273.0	138.8	0.4
S13	6.65	785.0	384.5	0.3	S31	6.70	264.0	133.5	0.5
S14	6.81	302.0	153.3	0.4	S32	6.70	1735.0	870.1	0.5
S15	6.81	184.3	93.2	0.6	S33	7.10	1099.0	553.3	0.2
S16	7.05	342.0	173.2	0.4	S34	7.40	995.0	500.9	0.2
S17	7.13	856.0	430.2	0.4	S35	7.50	888.0	447.7	0.9
S18	7.17	1944.0	976.8	0.6					
average	6.97	715.29	358.7167	4.1	Average	7.105294	1128.929	567.6529	7.352941
WHO standard	6.5-8.5	1500	1000-100 (PPM)	500		6.5-8.5	1500	1000-100 (PPM)	500
OMS standard	6 ≤ pH ≤ 9	≤ 2500	≤ aucune mention	≤ 5		6 ≤ pH ≤ 9	≤ 2500	≤ aucune mention	≤ 5

وكمية الأملاح الموصلة في الماء يتحول الملح والمواد الأخرى الذائبة في الماء إلى أيونات موجبة وسلبية، مما يسبب التوصيل الكهربائي. العسر الكلية (NTU)، هي مقياس التقليدي لقدرة الماء على التفاعل مع الصابون. وهي لا تنتهي عن مادة واحدة ولكن مجموعة متنوعة من الأيونات المعدنية المتعددة القيم المذكورة، يختلف العسر الكلي للمياه الجوفية بصورة كبيرة وذلك بالإعتماد على جيولوجيا ولاية وادي فيرا رعايا العسرة إلى غزارة وجود الأيونات الثنائية التكافؤ للعناصر خاصة الكالسيوم والمغنيسيوم والتي تتوارد بصورة كبيرة في المياه الجوفية، إن وجود العسر يجعل المياه مستهلكة للصابون حيث يسبب العسر الزائد في الماء بتسهيل الصابون وتمكّن حصول الغرة الجيدة. أظهرت النتائج أن قيم العسر الكلية للعينات (S9, S24) تراوحت بين (0.0-3.5) على التوالي، عينات الآبار في جدول (3) تتوافق مع معيار منظمة الصحة العالمية والمعايير المحلية التشادية. بينما أظهرت نتائج العينات (S6,S7,S21) قيم تراكيز (12.8-50.2-117.0) على التوالي، هي تقع ضمن المدى المسموح به لمنظمة الصحة العالمية ولكنها تتجاوز المدى المسموح للمعايير التشادية (5). السبب رعايا يرجع إلى العوامل الطبيعية التي تزيد من العكارنة، الجريان السطحي الناجم عن هطول الأمطار أو التقطس القاسي الذي يؤدي إلى تعرق

الأملاح الكلية الذائبة في الجدول (3) أظهرت العينات (S23,S9) قيمة التراكيز (56.6- 990.8) على التوالي، أنها في المستوى المسموح به لمعايير المنظمة الصحية العالمية. بينما أظهرت أن العينات (S26-S19) قيمة تراكيز (2334.6-2227.6) على التوالي، تجاوزت المدى المسموح للمنظمة الصحية العالمية والمعايير التشادية. وهذا رعايا يرجع إلى الطبيعة الجيولوجية للمنطقة والتضاريس الجبلية. لأن معدلات التغذية نتيجة الاحتراق هذه الآبار لطبقات الخزان الجوفي السطحي ونضوب مياهه وعرضها للملوحة، حيث تجاوزت ملوحة مياه الآبار للمعايير المحددة دولياً لمياه الشرب. لذلك نجد أن استعمال هذه المياه غير صالح للإستعمال الآمني قد يؤدي إلى العديد من الأمراض. نجد أن الموصليات الكهربائية، في الجدول (3) كما يظهر في الشكل (1) أن قيم التراكيز للعينات في المدى المتوسط لعينات (S10,S23) (8.8-111.8) تقع ضمن المقادير المسموح بها لمعايير المنظمة الصحية العالمية والصحة التشادية. بينما أظهرت العينات (S19,S26) مقدار تراكيز (4440.0, 4650) على التوالي، قد سجلت أعلى قيمة، وهي تجاوزت المدى المسموح لمنظمة الصحة العالمية والمعايير التشادية. يرجع إلى أن جيولوجيا المنطقة والتضاريس الجبلية المحيطة أدت إلى قدرة الماء على نقل التيار الكهربائي

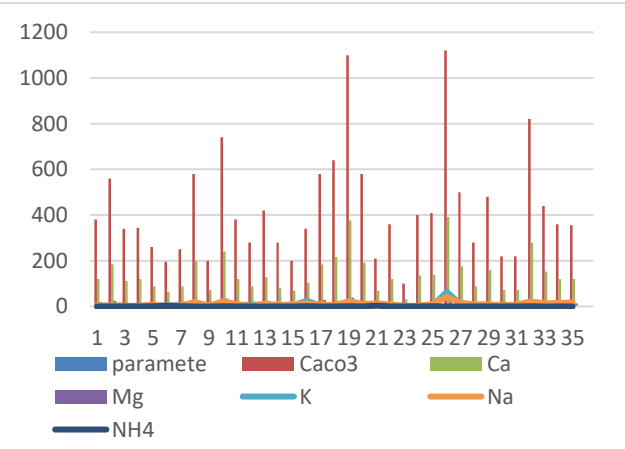
لوجود أيون الماغنيسيوم في المياه الجوفية فعد تحليل النتائج للنتائج التي فحصت وجد أن تراكيز أيون المغنيسيوم تتراوح بين (4.9 إلى 38.9) (S9- S19) على التوالي، وعند مقارتها مع مواصفات منظمة الصحة والمعايير الخالية التنشادية تجد اخاتق ضمن الحدود المسموح بها لمياه الشرب وبعض منها أقلة من الحد الموصى به للمعايير العالمية والخالية (30-50 ملغرام/ لتر). لنسبة تراكيز أيون الصوديوم والبوتاسيوم في الماء أهمية كبيرة للإنسان (عليان و آخرون، 1994).

الرواسب السلقية بسبب إضطراب المياه الناجم عن العواصف أو الأمطار المياه الشرب بمنطقة الدراسة. تم قياس تراكيز الكربونات وبعض الكاتيونات (الكالسيوم، الماغنيسيوم، البوتاسيوم، الصوديوم، والأمونيوم) بعملية المعايرة اليدوية وباستخدام جهاز الأمتصاص الذري. أظهرت نتائج التحليل لمقدار تراكيز في الجدول (3) أن كربونات الكالسيوم ( $\text{CaCO}_3$ ) في المدى المتوسط (100.0 إلى 1120.0) (S23, S26) على التوالي (S23, S26). إن النسبة المرتفعة ترجع إلى جيولوجية الأرض حيث التضاريس الجبلية يؤدي إلى إنخفاض الخطورة على المستهلك البشري. أما أيون الماغنيسيوم، الصخور الجبائية والدولوميت تعتبر المصدر الأساس

جدول رقم (3) يوضح نتائج الكاتيونات لمياه الشرب الجوفية بولاية وادي فيرا

Sample code	$\text{CaCO}_3^-$ mg/L	$\text{Ca}^{++}$ mg/L	$\text{Mg}^{++}$ mg/L	$\text{K}^+$ mg/L	$\text{Na}^+$ mg/L	$\text{NH}_4^+$ mg/L	Sample code	$\text{CaCO}_3^-$ mg/L	$\text{Ca}^{++}$ mg/L	$\text{Mg}^{++}$ mg/L	$\text{K}^+$ mg/L	$\text{Na}^+$ mg/L	$\text{NH}_4^+$ mg/L
S1	380.0	120.0	19.4	1.9	3.1	0.1	S19	1100.0	376.0	38.9	10.8	23.5	0.4
S2	560.0	184.0	24.3	3.0	4.5	0.0	S20	580.0	192.0	24.3	4.7	10.9	0.0
S3	340.0	112.0	14.6	1.9	3.2	0.0	S21	210.0	68.0	9.7	4.5	13.5	3.5
S4	344.0	120.0	10.7	1.5	1.9	0.0	S22	360.0	120.0	14.6	4.5	8.8	0.0
S5	260.0	88.0	9.7	5.7	7.8	0.5	S23	100.0	32.0	4.9	2.1	1.7	0.0
S6	196.0	64.0	8.7	4.5	1.4	2.6	S24	400.0	136.0	14.6	2.4	4.0	0.0
S7	250.0	88.0	7.3	6.2	4.9	0.9	S25	408.0	140.0	14.1	4.6	10.9	1.2
S8	580.0	200.0	19.4	6.5	18.9	0.1	S26	1120.0	392.0	34.0	64.0	42.0	0.0
S9	200.0	72.0	4.9	5.8	3.6	0.1	S27	500.0	176.0	14.6	8.9	16.8	0.0
S10	740.0	240.0	34.0	7.3	21.9	1.0	S28	280.0	88.0	14.6	4.4	8.6	0.0
S11	380.0	120.0	19.4	4.6	10.3	0.0	S29	480.0	160.0	19.4	5.2	8.6	0.0
S12	280.0	88.0	14.6	7.2	2.3	0.0	S30	220.0	72.0	9.7	7.8	4.7	0.0
S13	420.0	128.0	24.3	1.9	12.6	0.1	S31	220.0	72.0	9.7	3.5	7.9	0.0
S14	280.0	80.0	19.4	3.7	6.2	0.0	S32	820.0	280.0	29.2	8.9	22.5	0.6
S15	200.0	69.6	6.3	4.6	8.9	0.0	S33	440.0	152.0	14.6	5.6	13.6	0.1
S16	340.0	104.0	19.4	24.3	12.8	0.6	S34	360.0	120.0	14.6	6.2	15.5	0.0
S17	580.0	184.0	29.2	2.1	8.2	0.0	S35	356.0	120.0	13.6	7.2	17.4	0.0
S18	640.0	216.0	24.3	1.8	4.5	0.0							
Averae	387.2222	126.5333	17.216 6	5.25	7.61	0.333		467.8824	158.5882	17.35882	9.135294	13.58235	0.341176
WHO	-----	500	30-50	10-12	20-175	----		-----	500	30-50	10-12	20-175	
OMS	$\leq$ aucune mention	$\leq$ 200	$\leq$ 50	$\leq$ 12	$\leq$ 200	$\leq$ 1,5		$\leq$ aucune mention	$\leq$ 200	$\leq$ 50	$\leq$ 12	$\leq$ 200	$\leq$ 1,5

الماء تسبب تسمم للأحياء المائية وعند إحتوائه الماء كمية كبيرة منه يعتبر غير صالح للشرب والري. أما البوتاسيوم يوجد في الجسم كمكون للخلايا ويكون في الماء (5-6 mg/L) في بلازما دم الإنسان وزيادته تؤدي إلى تعدد القلب وتوقفه عن الانبساط، أما نقصه فسبب الشد العضلي وتقلص العضلات النامية والمبكرة والقلبية (Block, 1977). كذلك يلعب دوراً حيوياً في عمليات الحفظ ومساعد انتزاعي لعدد من الازناعات (طالب، 2003). أظهرت النتائج أن تراكيز أيونات الصوديوم في العينات من (S6 إلى S26) في المدى بين (1.4 إلى 42.0) على التوالي، تأكيد من خلال النتائج أن تراكيز الصوديوم أعلى بالمقارنة مع تراكيز البوتاسيوم، هنا يتفق مع الدراسة التي أجرتها (عليان و آخرون، 1994)، العديد من العينات تعتبر تراكيزها أقل من ادنى حد مسموح به لمنظمة الصحة العالمية والارشادات التنشادية (20-200 ملغرام/ لتر). بينما تراكيز أيون الكالسيوم أظهرت نتائج التحليل أعلى في المدى المتوسط للقيم (32.0 إلى 1120.0). لعينات الآبار (S8, S23) على التوالي، تقع ضمن الحدود المسموح بها لمنظمة الصحة العالمية والارشادات المحلية. ما عدا العينات (S10, S18, S19, S26, S32). أظهرت مقادير تراكيز الصوديوم والبوتاسيوم يقومان بتنظيم الضغط الاسمي وتواءن الحامض والقاعدة في الجسم، حيث ان الصوديوم والبوتاسيوم يحافظ على قدرات الأغذية ونقل المخافر العصبية، زيادته في النسب الموصى بها من الصوديوم يحافظ على قدرات الأغذية ونقل المخافر العصبية، زيادته في



شكل رقم (2) يوضح نتائج الكاتيونات لمياه الشرب الجوفية بولاية وادي فيرا

حيث ان الصوديوم والبوتاسيوم يقومان بتنظيم الضغط الاسمي وتواءن الحامض والقاعدة في الجسم، حيث ان الصوديوم والبوتاسيوم يحافظ على قدرات الأغذية ونقل المخافر العصبية، زيادته في

المحتوية على النترات التي تستخدمها البكتيريا جزئياً وينتشرباقي مع هطول الأمطار إلى المياه الجوفية. نتائج النترات فهي سجلت قيم التراكيز في المدى (0.0 إلى 31.4 ملغرام/لتر) لعينات الآبار (S17-S7) على التوالي، تقع ضمن الحدود المسموح بها لمنظمة الصحة العالمية والمعايير الخلية، مستويات النترات تتشابه مع للدراسات التي أجرتها (Bhattacharya; *et al*; 2012) في الهند و (Sehar; *et al*; 2011) في باكستان. بينما العينة S19 فقد سجلت (53.4) وهي أعلى من الحدود المسموح بها لمنظمة الصحة العالمية والمعايير الخلية التشادية التي تعتبر (50) ، هذا في الغالب يرجع إلى الطبيعة الجلبلية الخبيثة بالمنطقة. يؤدي التعرض للفلورايد في مياه الشرب إلى العديد من التأثيرات الضارة على صحة الإنسان بما في ذلك التسمم بالفلورايد الذي يصيب الميكل العظمي وهو سبب مهم للأصابة بالأمراض في عدد من دول العالم (Mangale, *et al*; 2012). معظم الفلورايد الموجود في المياه الجوفية ينشأ بشكل طبيعي من تحلل الصخور والرتبة أو الجريان السطحي وتنتشر الأسمدة الكيميائية من المناطق الزراعية. تكمن أهمية قياس الفلورايد في عواقبه الصحية. فوجوده تراكيز منخفضة يمكن أن يقلل من خطر الاصابة بتسوس الاسنان، اظهرت أن نتائج التحليل للفلورايد في المدى المتوسط لقيم التراكيز (0.0-1.4) لعينات من (S2-S5) على التوالي. وهي في الحدود المسموح بها لمنظمة الصحة العالمية والمعايير الخلية. ما عدا العينات (S8, S10, S11, S12, S13, S14, S15, S16, S17, S18, S19, S20)، قد سجلت أعلى نسبة (1.9, 1.8, 1.9, 3.1, 3.7, 3.1.2.7, 2.3 ملغرام/لتر) على التوالي، تجاوزت الحد المسموح بها لمنظمة والمعايير الخلية (1.5)، رعاً يرجع السبب إلى الطبيعة الجيولوجية بالمنطقة. التعرض إلى كميات أعلى إلى حد ما يؤثر في صحة الإنسان يمكن أن يؤدي إلى تسمم الأسنان، هذه النتائج مماثلة للملحوظات السابقة التي أجرتها (WHO; *et al*; 2011) و (Mahananda, *et al*; 2011). (1996).

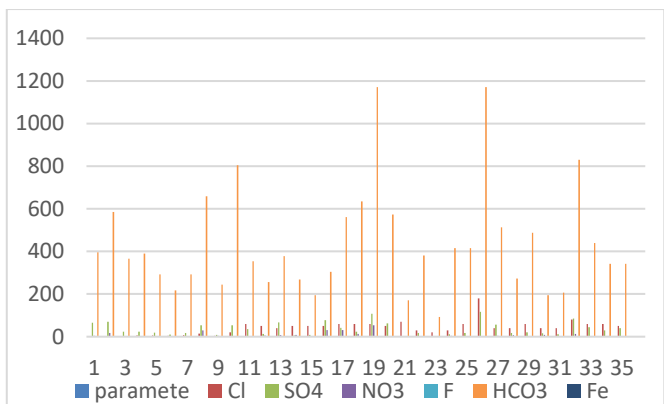
البيكربونات ( $\text{HCO}_3^-$ ):

البيكربونات تمثل مصدراً للقلوية وهي قابلية الماء للتفاعل مع الميادروجين. أن نتائج أيونات البيكربونات سجلت التراكيز (658.8, 92.7) لعينات الآبار (S8, S23) على التوالي. بينما العينات (S26, S10) أظهرت تراكيز (805.2, 1171.2) على التوالي، تعتبر أعلى من ما اوصت به منظمة الصحة العالمية والمعايير الخلية. عندما يكون (PH) أكبر من (8.20) فإن الكربونات توجد بشكل أكبر من البيكربونات، أما عندما يكون الأنس الميادروجيني أصغر من (8.20) فإن معظم الكربونات الموجودة في المياه تتحول إلى بيكربونات، وهذا هو حال المياه الجوفية في منطقة الدراسة. حيث يعزى ارتفاع تراكيز بيكربونات بشكل رئيس لانحدار الفلات الحديدية المغزنية. فعندما تتسرب مياه الأمطار الخملة بغاز ثاني أوكسيد الكربون داخل الطبقات الجيولوجية تقوم بخل هذه الصخور وبالتالي إغاثة المياه بالبيكربونات والمغنيزيوم، كما قد تنتفع من إغاث الصخور الكلسية والدولوميتية. كما موضح في الشكل (3). بعض العناصر النادرة مثل الحديد التي توجد بكثرة أو نقصان في المياه الجوفية، ضرورية لمياه الشرب للإغراض البيولوجية وتلعب دوراً مهماً في حياة الإنسان، (Galitskaya, *et al*; 2017). أظهرت نتائج عينات الحديد (S9-S11) في المدى (0.2-0.0) على التوالي، وهي تقع ضمن الحدود المسموح بها لمنظمة الصحة العالمية والمعايير الخلية (0.3) (WHO, 2014) . بينما العينات (S21-S6-S7-S21) قد سجلت (0.6, 0.8, 2.2, 0.6) على التوالي، تجاوزت الحد المسموح بها لمنظمة الصحة العالمية والمعايير الخلية التشادية، ان التراكيز العالي للحديد في مياه الشرب له العديد من الآثار البيئية والصحية يمكن لكمية كبيرة من الحديد في مياه الشرب أن تعزز نمو البكتيريا والكائنات وحيدة الخلية الأخرى (Jaishankar, *et al*; 2014) كما يمكن ان يسبب التراكيز العالي في مياه الشرب الغثيان والألم البطن والقيء لدى البشر، كذلك يمكن ان يؤدي التسمم بالحديد ايضاً إلى الأسهال والجفاف. في بعض الأحيان تؤدي كثرة الحديد إلى ان يصبح التراز اسوداً ودمياً (Jaishankar, *et al*; 2014) ، رعاً يفسر ذلك أن التراكيز التربة الرملية المنحرفة مع المياه أثناء موسم الخريف بالإضافة لجيولوجية المنطقة. كما يظهر في الشكل (3).

لوجود أيون الكالسيوم في المياه تبعاً للتركيب الجيولوجي للمنطقة في صخور الدولوميت والجبس. كما هو موضح في شكل (2).

نجد ان أيون البوتاسيوم أقل وجوداً في الصخور النارية لكنه ينتشر بشكل كبير في الصخور الروسية ومعدن فلسيبار البوتاسيوم وهذه المعدن غير قابلة للذوبان لذا فإن تراكيز هذا العنصر عادة ما يكون بالمقارنة مع تراكيز الصوديوم، اظهرت الدراسة أن تراكيز البوتاسيوم في منطقة الدراسة يتراوح في المدى (8.9-1.5) لعينات الآبار (S27-S4) بالترتيب هذه النتيجة تتفق مع الدراسة السابقة التي أجرتها (Ibrahim and Al-Riqiq, 2010) ، وفقاً لهذه النتائج فإن جميع العينات المدروسة تحتوي على نسبة من البوتاسيوم أقل من الحد الأدنى (12) . بينما اوضحت نتائج العينات (S16, S26) تراكيز (64.0, 24.3) على التوالي، سجلت مقدار تعدد الحد المسموح في مياه الشرب، اما العينة (S19) سجلت قراءة  $10.8 \text{ mg/L}$  تقارب الحد الأدنى هذا يتفق مع الدراسة التي أجرتها (Cmer, وآخرون 2021)، السبب في ارتفاع هذه النسب رعاً يرجع لجيولوجية المنطقة. كما يظهر في الشكل (2).

أوضحت نتائج الأمونيا ( $\text{NH}_4^+$ ) لعينات (S1) إلى (S25) في المدى (0.01-1.2) على التوالي، وهي تعتبر ضمن الحد المسموح به لمنظمة الصحة العالمية والمعايير الخلية. ما عدا (S21-S6) سجلت مقدار التراكيز (2.6, 3.5) على التوالي، فهي تجاوزت الحد المسموح بها لمنظمة الصحة العالمية والمعايير التشادية (1.5) . هذا الارتفاع لقيم التراكيز رعاً يرجع إلى وجود المنطقة وسط الجبال التي تتحدر منها المياه المطرية إلى المستنقع اي للتراكيز الجيولوجية والتضاريس الجلبلية. موضح في الشكل (2).



شكل رقم (3) يوضح نتائج الأنيونات لمياه الشرب الجوفية بولاية وادي فيرا.

أظهرت نتائج تحليل الكلوريد (Cl) للعينات في الجدول (5) و الشكل (3) في المدى (3.0) إلى (180.0) لعينات (S26, S6) على التوالي. إلا ان نسب التراكيز لم تتجاوز المعايير وفقاً لمنظمة الصحة العالمية والمعايير الخلية. وهي (250) كحد أعلى مسموح به في مياه الشرب، ولا سيما أن زيادة التراكيز عن هذا الحد يصبح ضعه واضحاً في مياه الشرب. ولكنها في الحدود المسموح بها لمياه الشرب لولاية وادي فيرا. نجد ان المصادر الرئيسية للكبريتات هي مخلفات الأسمدة الكيميائية والصناعية والنفطية التي يؤدي لإذابة الماء لإكسايد الكبريتات ان ارتفاع تراكيز الكبريتات عن  $200 \text{ mg/L}$  هو سبب ملوحة المياه، كما يسبب العسر الدائم للمياه عند وجودها في صورة كبريتات الكالسيوم و كبريتات الماغنيسيوم وبالتالي يمكن ان يؤدي إلى الاسهال الشديد وبالاضافة إلى ان المياه تصبح غير صالحة للري والبناء (Sohil, 2014) .

سجلت النتائج الواردة لتحليل للكبريتات ( $\text{SO}_4^{2-}$ ) اما في المدى المتوسط (1.0 إلى 116.0) لعينات (S26-S10) على التوالي، ضمن الحد المسموح به لمنظمة الصحة العالمية والمواصفات التشادية (WHO, 2012) . النترات من المواد غير العضوية التي تعتبر ملوثاً رئيساً لمياه الجوفية بسبب مخاوفها الصحية الخطيرة. إذا تم تناولها بكميات كبيرة يمكن ان تسبب الميتموغلوبين (methemoglobinemia) عند الاطفال الرضع. اما المصدر الرئيس للنترات في المياه الجوفية ينبع من النترات المثبتة بواسطة النباتات من النتروجين الحيوي واستخدام التقليدي للامدة

جدول رقم: (4) يوضح نتائج الانيونات لمياه الشرب الجوفية بولاية وادي فيرا.

Parameters Sample Code	Cl <sup>-</sup> mg/L	SO <sub>4</sub> <sup>-2</sup> mg/L	(NO <sub>3</sub> <sup>-</sup> ) mg/L	F <sup>-</sup> mg/L	(HCO <sub>3</sub> <sup>-</sup> ) mg/L	Fe <sup>++</sup> mg/L	Parameters Sample Code	Cl <sup>-</sup> mg/L	SO <sub>4</sub> <sup>-2</sup> mg/L	(NO <sub>3</sub> <sup>-</sup> ) mg/L	F <sup>-</sup> mg/L	(HCO <sub>3</sub> <sup>-</sup> ) mg/L	Fe <sup>2+</sup> mg/L
S1	3.0	65.0	4.6	1.1	395.3	0.0	S19	60.0	107.0	53.4	2.9	1171.2	0.0
S2	3.0	70.0	17.2	1.4	585.6	0.0	S20	50.0	62.0	1.0	3.1	573.4	0.0
S3	3.0	23.0	0.1	0.8	366.0	0.1	S21	70.0	1.0	2.3	0.0	170.8	0.6
S4	6.0	24.0	2.5	0.5	390.4	0.0	S22	30.0	17.0	2.9	1.1	380.6	0.0
S5	5.0	19.0	0.0	0.0	292.8	0.2	S23	20.0	2.0	2.1	0.3	92.7	0.0
S6	4.0	10.0	0.3	0.3	217.2	22.	S24	30.0	12.0	3.9	0.7	414.8	0.0
S7	7.0	17.0	0.0	0.0	292.8	0.8	S25	60.0	18.0	2.6	0.6	414.8	0.0
S8	14.0	54.0	1.9	1.9	658.8	0.0	S26	180.0	116.0	1.6	2.3	1171.2	0.0
S9	4.0	3.7	0.4	0.4	244.0	0.2	S27	40.0	57.0	4.4	1.2	512.4	0.0
S10	20.0	1.0	1.8	1.8	805.2	0.0	S28	40.0	18.0	6.9	0.2	273.3	0.0
S11	60.0	35.0	1.7	1.9	353.8	0.0	S29	60.0	20.0	1.3	0.1	488.0	0.0
S12	50.0	13.0	5.6	0.3	256.2	0.0	S30	40.0	16.0	7.9	0.0	195.2	0.0
S13	40.0	67.0	6.3	0.5	378.2	0.0	S31	40.0	11.0	0.7	0.0	207.4	0.0
S14	50.0	6.0	8.1	1.1	268.4	0.0	S32	80.0	85.0	12.9	01	829.6	0.0
S15	50.0	8.0	2.9	0.5	195.2	0.1	S33	60.0	44.0	1.5	1.1	439.2	0.0
S16	50.0	78.0	30.9	3.1	305.0	0.0	S34	60.0	30.0	0.9	1.3	341.6	0.0
S17	60.0	42.0	31.4	3.0	561.2	0.0	S35	50.0	40.0	1.9	0.2	341.6	0.0
S18	60.0	24.0	12.2	2.7	634.4	0.0							
average	27.16	31.09	7.105	1.1833	400.02		average	57.058	38.588	6.36470	0.94705	471.6353	0.035294
<b>WHO</b>	<b>250.0</b>	<b>25-250</b>	<b>50</b>	<b>1.50</b>	----	<b>0.30</b>	----	----	<b>25-250</b>	<b>50</b>	----	----	<b>0.30</b>
OMS	≤ 250	≤ 250	≤ 50	≤ 1,5	≤ aucune mention	≤ 0.3		≤ 250	≤ 250	≤ 50	≤ 1.5	≤ aucune mention	≤ 0.3

## الخلاصة

## التصنيفات:

- أحمد حسن محمد إبراهيم ، مسعود محمد الرقيق، 2010 ، تقدير بعض العناصر الفلزية في مياه الشرب بجمهورية تاشاد بواسطة طيف الامتصاص الذري، مجلة جامعة سيبها، العلوم البحثة والتطبيقية المجلد التاسع ، العدد الثاني .
- انتصار بوجليلة، 2007، تقييم جودة المياه الجوفية بمنطقة صرما ، المؤتمر العلمي الثالث لجامعة النجع الساطع - ليبيا.
- بوبكر العبدلي؛ محمد الدراوي العائب؛ عبد الحميد خليفة الزبيبي 2020، تقييم جودة المياه الجوفية بمنطقة برسس الجبل الأخضر-ليبيا ، المجلة الليبية لعلوم وتكنولوجيا البيئة-ليبيا.  
<https://doi.org/10.63359/ssdf2109>
- سحر أمين كاتوت، 2008، المياه، الناشر: دار دجلة ناشرون وموزعون.
- سهيل، عبدالرحيم رافع، 2014، تلخ المياه بواسطة الكبريتات، ، منشورات جامعة عدن اليمن - ص 28
- طالب، محمد بن صبرى، 2003، الدور الحيوى للبوتاسيوم في عمليات المتابوليزم ، مكتبة القبس العلمية، عمان الاردن - ص 93
- عبد الرزاق مصباح عبد العزيز؛ خيري محمد العماري؛ علي خير صابر، 2019، تقييم جودة المياه الجوفية لأغراض الشرب باستخدام مؤشر جودة المياه في مدينة صرمان، المجلة الليبية لعلوم وتكنولوجيا البيئة، ليبيا.  
<https://doi.org/10.63359/jk74a380>
- عليان، عاطف؛ الحصادي، وآخرون 1994، كيمياء وفيزياء الملوثات البيئية مع طرق الكشف عنها وتأثيرها البيوطبية. منشورات جامعة قاريوپنس ببغازي الطبعة الأولى.
- قمر، قمر محمد، مهاجر، احمد محمد، 2021 ، تقدير تراكيز بعض الكاتيونات والأيونات الذائبة لمياه الشرب بالدائرة الرابعة لمدينة أئممتنا، المجلة الدولية للبحث العلمي والتنمية المستدامة، المجلد 4، العدد 3،  
<https://doi.org/10.21608/ijrsd.2021.206884>
- محمد الكايد 2013، النظام المائي. الناشر: دار الراية. الطبعة الأولى الصفحة 321
- Bhattacharya T., Chakraborty S. and Tuck Neha,2012, Physicochemical Characterization of ground water of Anand district, Gujarat, India, Research Journal of Environment Sciences, Vol. 1(1), 28-33. [www.isca.in](http://www.isca.in)
- Block, J. A. 1977. Water Pollution Technology. New York Galitskaya, I. V.; Mohan, K. R.; Krishna, A. K.; Batrak, G. I.; Eremina, O. N.; Putilina, V. S.; Yukanova, T. I.2017, Assessment of soil and groundwater contamination by heavy metals and metalloids in Russian and Indian megacities. Procedia Earth Planet. Sci., 17, 674– 677. <https://doi.org/10.1016/j.proeps.2016.12.180>
- Gleick, P. H., & Schneider, S. 1996. Encyclopedia of climate and weather. Water Resources, 2, 817-823.
- Jaishankar, M.; Tseten, T.; Anbalagan, N.; Mathew, B. B.; Beeregowda, K. N. 2014, Toxicity, mechanism and health effects of some heavy metals. Interdiscip. Toxicol, 7, 60–72. <https://doi.org/10.2478/intox-2014-0009>
- Liptrot,G.F. 1983 modern inorganic chemistry
- من خلال النتائج نوصي بإنشاء شبكة مراقبة لرصد نوعية المياه الجوفية بشكل منتظم ومستمر وذلك من خلال إجراء كافة التحاليل الكيميائية والفيزيائية والجرومية لتقدير صلاحيتها للشرب. القيام بالدراسات الازمة لإجراء معالجة للمياه الجوفية في ولاية وادي فيرا للإستفادة منها كمياه للشرب، لأن أعلىية سكان ولاية وادي فيرا تعتمد على هذه المياه في الإستخدامات المنزلية. إن إرتفاع مقدار تراكيز المواد الصلبة الذائبة الكلية (TDS) قد يؤدي إلى زيادة نسب تراكيز كربونات الكالسيوم مسببة أمراض باطنية.
- إن العسرة الكلية في الحدود المتوسطة (0.9 – 0.0) (S14,S35) على التوالي، تقع ضمن الحدود المسموح بها حسب مواصفات ومعايير منظمة الصحة العالمية والخلية التشاردية (S6,S7,S21) (2023). أما عينات الآبار (12.8 – 50.2 – 117.0) على التوالي، تجاوزت الحدود المسموح بها لمنظمة الصحة العالمية OMS التشادية. إن نسب تراكيز الكاتيونات والأيونات المرتفعة في المياه الجوفية لولاية وادي فيرا، تؤثر على صحة المستهلك، فلابد من إجراء مزيد من التحاليل بمنطقة الدراسة بالتركيز على العناصر الثقيلة، لتفادي المشاكل المرتبطة بتلوث الماء.
- العمل على إجراء سياسات من شأنها حصد وتخزين مياه الأمطار والاستفادة من المياه السطحية وتنظيم تصريف مياه الأمطار وحماية الغابات.
- العمل على إنشاء مشاريع جديدة تهدف إلى تغذية المناطق بال المياه الصالحة.
- إعتماد المنهج العلمي في البحث والاستقصاء للتعرف على الحقائق، فالبحث والدراسة العلمية من بين أبرز أدوات البيئة في التصدى لسياسات الأفراط في إستغلال البيئة.
- إجراء مسح شامل للمشكلات البيئية وفقاً لمواضعها وتحديد نوعية التلوث البيئي.
- استبدال الأنابيب التالفة لمنع اختلاط مياه الشرب المعقمة ب المياه الجوفية.

## خاتمة

هذه النتائج تسلط الضوء على الحاجة إلى الاستمرار في إجراء المزيد من الدراسات بالتركيز على العناصر الثقيلة بغرض تقييم جودة المياه الجوفية لمعالجة المخاوف البشرية والبيئية المختلطة الناجمة عن وجود هذه الأيونات المعdenية والأملاح غير الذائية بسبب طبيعة المنطقه الجيولوجية. في النتائج توصلت هذه الدراسة إلى تقييم نوعية مياه بعض الآبار الجوفية وخلوها من التلوث بمنطقة ولاية وادي فيرا منطقة الدراسة. تم جمع 35 عينة من الآبار الجوفية داخل الولاية من جميع الإتجاهات، كان الغرض هو تحديد الجودة لأغراض الشرب والري. خلصت النتائج على وجود تأثير كبير للمكونات الصخرية على زيادة الأيونات المسحله في المياه الجوفية في منطقة الدراسة بولاية وادي فيرا. أظهرت النتائج أن درجة الحموضة في المدى (8.20 إلى 6.65) لعينات الآبار (S13,S20) على التوالي، هذه النتيجة تؤكد أنها ذات طبيعة حمضية، وكانت نسبه تراكيز الخصائص الفيزيوكيميائية البسيط منها ضمن الحدود المسموح بها حسب معايير منظمة الصحة العالمية والمعايير التشاردية. بإثناء الاملاح الكلية الذائبة التي كانت مسيطرة فيأغلب العينات، وكانت مقدار تراكيز الاملاح الكلية الذائبة لعينات الآبار (S26,S19) (2227.6 هي 2334.6) على التوالي، تجاوزت الحدود المسموح بها حسب معايير منظمة الصحة العالمية WHO. حيث تعد مياهها صالحة للشرب. أما بالنسبة للكاتيونات والأيونات بالرغم من أن نسب تراكيزها مرتفعة، إلا أن مياهها الجوفية مستساغة للإستهلاك البشري. تعد المياه الجوفية بمنطقة الدراسة بولاية وادي فيرا منخفضة الخطورة.

## الشكر وتقدير

يتقدم الباحثون بالشكر إلى المركز القومي لتحليل المياه بإيمينا-تشاد على ما قدموه من تعاون في إجراء هذا البحث.

1(8), 24-30. www.isca.in

WHO, 2004, Iron in drinking-water, background document for preparation of WHO Guideline for drinking water quality. Geneva. World Health Organization. (WHO/SDE/WSH/03.04/88).

WHO; 2004, Copper in drinking-water, background document for preparation of WHO Guideline for drinking water quality. Geneva. World Health Organization. (WHO/SDE/WSH/03.04/88).

WHO; 2012, Guidelines for Drinking Water Quality, Volume2: Recommendations WHO, Geneva.

World Health Organization, 1996, Geneva, Guidelines for drinking-water quality, Health criteria and other supporting information, 2nd ed. Vol. 2. <https://doi.org/10.1002/9780470172971.app2>

4<sup>th</sup>.ed(modern chemistry series), ISBN 0 7135-1357 8 292-293.

Mahananda M.R., Mohanty B.P. and Behera N.R., 2010, Physicochemical analysis of surface and groundwater of Bargarh district, Orissa, India, *Intl. J. Res. Rev. App. Sci.*, 2(3), 284-295

Mangale Sapana M., Chonde Sonal G. and Raut P. D. 2012, Use of *Moringa Oleifera* (Drumstick) seed as Natural Absorbent and an Antimicrobial agent for Ground water Treatment, *Res. J. Recent Sci.*, 1(3), 31-40

Sehar S., Iffat N., Ali M. I. and Ahmed S., 2011, Monitoring of Physico-Chemical and Microbiological Analysis of Under Ground Water Samples of District Kallar Syedan, Rawalpindi-Pakistan, *Res. J. Chem. Sc.*,